

Д.Н.БОРОВИКОВ, А.И.ГРАБЕЖЕВ, З.М.ПОТАПОВА

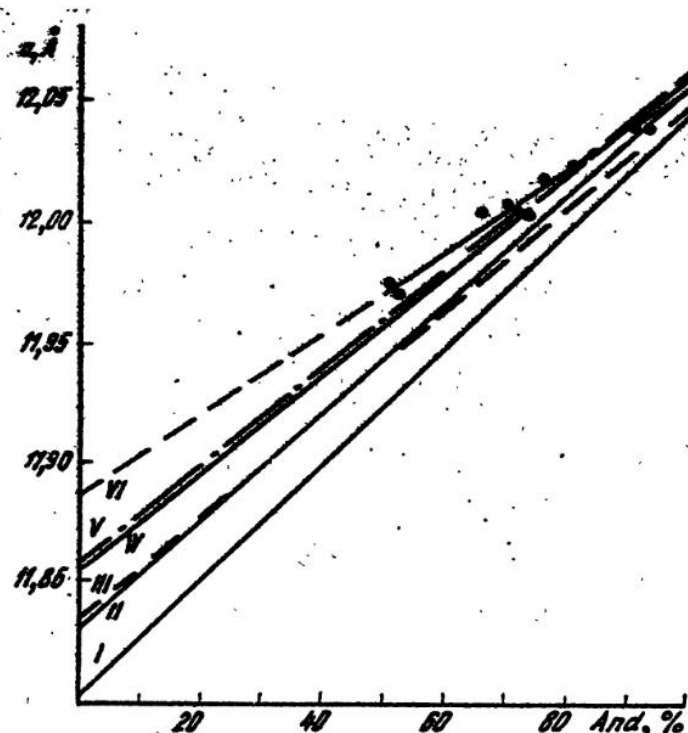
О МЕТОДИКЕ ОПРЕДЕЛЕНИЯ СОСТАВОВ ГРАНДИТОВЫХ ГРАНАТОВ
ПО ПАРАМЕТРУ ЭЛЕМЕНТАРНОЙ ЯЧЕЙКИ

При изучении скарнов необходим детальный анализ вариаций составов скарновых минералов, в частности, граната, который является основным породообразующим минералом. Для массового определения состава граната нужен более простой и дешевый метод, чем химический анализ или рентгеновский микроанализ. В качестве такового нами использован метод рентгеноструктурного анализа.

Изучались гранаты известковых скарнов Тарутинского скарново-мединопорфирового месторождения. По данным химического анализа монофракций, в пересчете на миналы, они представлены разновидностями гроссуляр-андрадитового ряда с незначительной примесью пиральслитовой составляющей, количество которой в ряду от Анд₉₄Гр₁ до Анд₆₉Гр₂₅ варьирует в пределах 3-6%.

Зависимость содержания андрадита в гранате от параметра элементарной ячейки:

I - для природных гранатов из Выйского скарново-магнетитового месторождения /3/; II - для природных гранатов /1/; III - теоретическая зависимость для чистых членов гроссуляр-андрадитового ряда /3/; IV - для синтетических гранатов /4/; V - для синтетических гранатов /2/; VI - зависимость, полученная для гранатов Тарутинского месторождения



В монофракциях при существует несколько типов гранатов, различающихся

по окраске, которые были изучены на микроанализаторе JXA-5 (аналитик В.Г.Имыра). При расчетах на миналы допускалось, что все железо идет на образование андрадита, ошибка при таком допущении составила не более 3%. В целом не наблюдается четкой связи между составом граната и его окраской. Как правило, в монофракциях, состоящих из нескольких типов гранатов, один из них значительно преобладает и составляет более 70-80%. Сопоставление данных по содержанию андрадита, полученных на микроанализаторе (Б) и химическим анализом (А) для наиболее однородных проб, показало хорошее соответствие, %:

№/п	А		Б	
I	75		70 (бесцветн.)	
2	78		78 (бесцветн.), 74, <u>85</u> (красн.)*	
3	75		<u>78</u> (бесцветн.), 75, 85 (красн.)	
4	87		<u>89</u> , 91 (бесцветн.), 83 (зелен.)	
5	75		70, <u>76</u> (зелен.), 95 (красн.)	
6	84		<u>78</u> (зелен.), 91 (красн.)	
7	69		67 (зелен.)	

* Подчеркнут состав преобладающего по окраске граната.

Определением состава гранатов по параметру элементарной ячейки занимались ряд исследователей /I-4/, которые показали зависимость параметра "a" от содержания андрадитовой составляющей для синтетических и природных гранатов гранитового ряда, но их данные отличаются друг от друга (см. рисунок). Пара-

метр "а" определялся в лабораториях ИТГ УрО АН СССР и ШГО "Уралгеология". Относительная ошибка в среднем составляет 0,003 Å. По результатам определения параметра элементарной ячейки и состава граната, полученным на микромикрозондаторе, нами была установлена зависимость содержания андрадита от параметра "а" для гранатов Тарутинского месторождения, которую можно представить в следующем виде: $X = (6,098a - 72,5) \cdot 100\%$, где X – содержание андрадита в гранате. Полученная зависимость наиболее близка к линии синтетических гранатов и существенно отличается от результатов изучения гранатов скариево-магнетитовых месторождений. Знание параметра элементарной ячейки позволяет определить состав граната с точностью 5%, что вполне удовлетворительно для решения поставленной задачи.

Список литературы

1. Аранович Л.Я. Фазовое соответствие в системе эпидот – гранат по экспериментальным данным // Очерки физико-химической петрологии. М., 1977. Вып. 6. С.14–33.
2. Шмолович К.И., Моисеева Л.С., Докина Т.Н. Синтез и параметры элементарной ячейки гранатов ряда гроссуляр-андрадит // Очерки физико-химической петрологии. М.: Наука, 1975. Вып. 5. С.267–270.
3. Юников Б.А. О возможности определения состава граната гроссуляр-андрадитового ряда по параметру элементарной ячейки // Тр. Горно-геол. ин-та УФАН СССР. 1961. Вып. 56. С.45–48.
4. Lio J.G. Sintesis and stability relations of epidot, $\text{Ca}_2\text{Al}_2\text{Fe} \cdot \text{Si}_3\text{O}_{12}(\text{OH})$ // J. Petrol. 1973. Vol. 66. N 14.